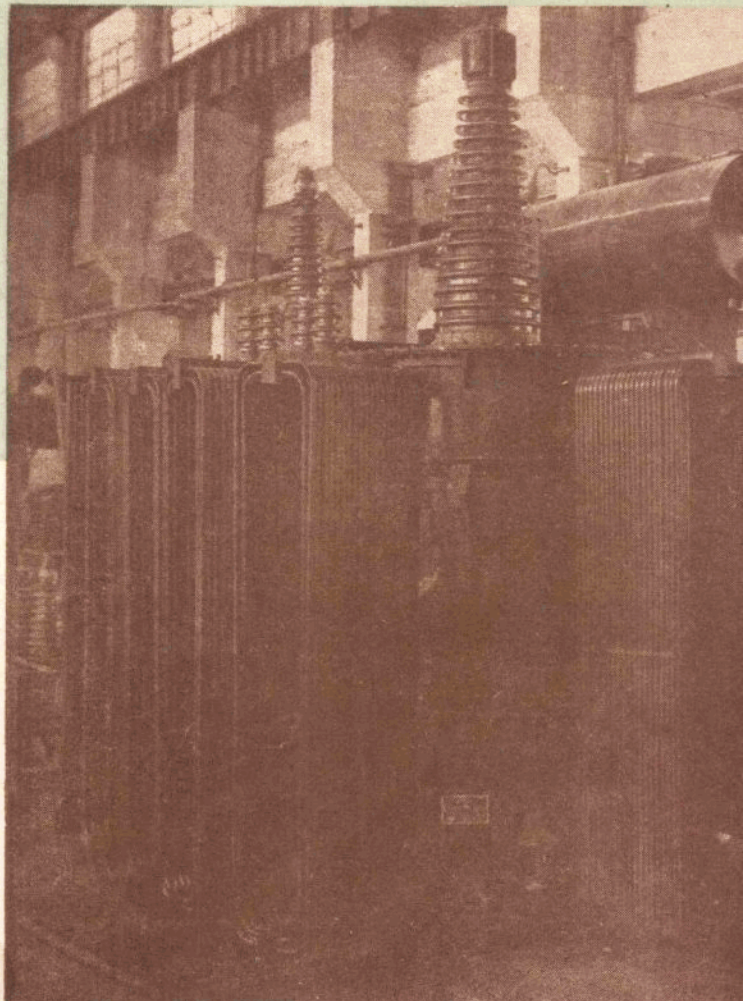


技术报导

JISHU

BAODAO

图书馆



DFL—40000/220

大型超高压电力

变压器

1958

5

蘇子如
浦
PDG

沈阳变压器厂

技术报导(双月刊)

(内部刊物 注意保存)

1958.11.4. (5期)

目 录

专 論

1. 瑞典 ASEA 变压器车间参观所见 周茂增 (1)
2. 绝缘电木筒制造工艺 王凤恩 (2)
3. 水冷变压器设计 (续完) 龚新民 (6)

試 驗 研 究

4. 110 千伏级电力变压器主绝缘的试验研究 (12)

技 术 総 述

5. 电缆电容绝缘电流互感器 齐润堂、陈中杰 (19)
6. 农民用成套变电站的介绍 崔玉波、黄杏堂 (21)

技 术 革 新

7. KSG 自动焊接机构 赵树人整理 (23)
8. 螺杆自动点焊 赵树人整理 (25)
9. 快速炼钢法——记时曲线 赵树人整理 (26)

新 产 品 介 绍

10. 我国第一台 SFSL—60000 仟伏安 110 仟伏巨型变压器试制成功 (26)
11. 我国第一台 DFL—40000/220 型特高压巨型变压器试制成功 (27)
12. LCLWD—220 仟伏新型电缆电容式电流互感器 (28)
13. 世界先进水平的干式成套变电站试制成功 (29)
14. 又一台具有世界水平的 SYXZ—I—60/220—2、13、5 有载分接开关试制成功 (30)
15. 我国第一只 220 仟伏电容式出线套管试制成功 (32)
16. 世界水平的 ATT 电桥试制成功 (32)
17. 1800 仟伏冲击电压发生器 25 仟安冲击电流发生器试制成功 (33)
18. LXC—12 型另相序电流互感器 (35)
19. 供高压设备用 MBT—220 型套管 (35)
20. 供高压设备保护用 LTD—220 型电流互感器 (36)

譯 文 摘 要

21. 冷固不饱和聚脂浇注绝缘 (36)
22. 户内用塑料绝缘互感器 (39)

編 者

出版 沈变技术报导组
发 行

印 刷 新 华 印 刷 厂

地 址 沈阳市铁西区北二路二段八号

瑞典 ASEA 变压器车间参观所见

总设计师 周茂培

我此次在瑞典斯德哥尔摩参加国际电工会议期间，曾有机会随同我国赴瑞考察团访问了瑞典 ASEA 电气公司，并参观了他们的一些工厂。我们在六月二十六日参观了变压器车间。由于时间安排得很紧，整个变压器部分仅安排了两小时。因此所见所闻有很大的局限性，参观也是极不全面的。

瑞典 ASEA 电气公司的变压器生产部分是该公司罗特维加 (Ludvika) 工厂的一个组成部分。年产变压器约三百万千伏安。自 1936 年起瑞典所建成的 220 千伏输电线路及 1952 年起所建成 380 千伏输电线路的变压器设备均由该厂生产供应。据估计该两种电压级别的变压器总生产量已达一千余万千瓦。由于瑞典首先采用 380 千伏耦合系统，因此 380 千伏级的变压器问世，也引起了世界各国的重视。兹将参观中的一些有关的变压器结构方面的問題写在下面。

ASEA 变压器车间主厂房有 110 吨吊车两台，有效吊重约为 180 吨。由于大型变压器的结构及单台容量和运输問題关系最大，瑞典铁路运输的最大载重量为 240 吨，有效载重约为 180 吨。自轨面至顶点的最大允许高度为 4,800 公厘。因此该厂主要的大型变压器铁心结构以采用单相五柱式者居多，最大的单台容量不超过 200 兆伏安。约有 80% 的铁心采用方向性的冷轧矽钢片。此等冷轧矽钢片几乎均自美英两国进口。自美国进口者为美国轧钢公司 (ARMCO) 所供应，矽钢片成卷宽度为 800 或 1000 公厘，表面有绝缘层。标称损耗数字如下：

千 高 斯	每公斤损耗 (瓦)
10	0.49
15	1.12

英国矽钢片质量较差，损耗数字约较上表高 10% 至 20%。该厂对于较重要的大型变压器，在原有的铜片绝缘层上再上一层漆。并采用斜接缝，以降低损耗。由于瑞典不能自制矽钢片，因此对矽钢片的有效利用方面也颇为注意。我们在车间参观时，曾注视一台三相 165 兆伏安 147/12.5 千伏的变压器铁心，其铁心柱分级竟达 22 级。由于分级较多，铁心柱的夹紧螺杆仅采用一排。这样也就相应的降低了铁心损耗。

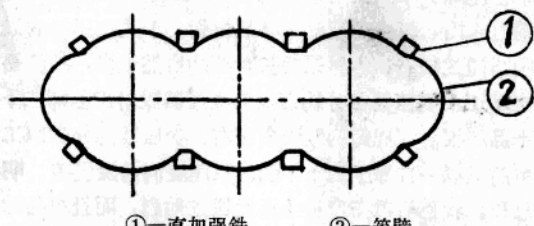
ASEA 工厂生产的变压器全部为内铁心式，并广泛采用吾人熟知的连续式饼式和螺旋式线卷。该厂所生产的大型 380 千伏变压器的线卷也不例外。在欧洲各国制造工厂所广泛采用的多层次线卷则被认为缺乏足够的机械强度而不被采用。该厂以前所生产过的 380 千伏高压线卷不带有任何分接头，调整电压时则借助于另一调压变压器。调压变压器的线卷一方联接于主变压器的第三线卷上，并以另一具有带负荷分头的线卷作为主变压器高压线卷的接地点。遇有主变压器的中压线卷需用相位调整时，也可以采用单独的调相变压器。

近年来由于带负荷调整开关在电压级别上及容量上有所提高，便有可能在大型自耦变压器上直接装置调压线卷。但是特大容量与特高电压的变压器由于运输条件的限制，还是不便将带负荷调整开关直接安装于主变压器油箱内。

关于该厂 380 千伏级线卷绝缘结构的实地观察，曾预定为我参观的重要内容。但在参观时，并无这种变压器在装配；且当我们询问时，该厂引导参观人员不愿作正面回答。该厂既在大型电力变压器上采用通常的连续式或饼式线卷，似乎必然采用部分补偿电容装置。但是该厂负责工程师介绍时，仅说在线饼间安置静电板。并说补偿电容圈虽可减少段间的电位梯度，但是必然增加电容圈在相邻线饼间的电位梯度，因此高电位并非消灭，而仅作转移而已。这个问题我们也将研究。

该厂变压器的油箱及散热装置值得注意的几点：

1) 大型变压器的油箱截面往往做成结合铁心和线卷的形状，以达到省油的目的。如下图。



絕緣電木筒製造工藝

東北工學院電力系教授 王鳳恩
沈陽變壓器廠工程師

第一部分：原材料及工模具的準備

在膠木筒的卷繞前，其材料的鑑別與選擇是非常重要的，它是決定電木筒質量好與壞的主要關鍵，通過這一個手續決定膠木筒卷繞時的溫度與速度。如果鑑別和選擇不當，則會使卷繞的電木筒烘培後而起層、起泡或起折楞。

我們現在使用的膠紙厚度是0.07公厘，含膠量一般都在29~33%範圍，揮發量7%以下，可溶性樹脂應占90%以上。

選擇方法：

是以化驗的結果作依據，但由於化驗的過程較為繁雜，有些不便，非有特殊要求者，一般都不做這項試驗。

目前的選料是根據自己的經驗，按物理現象，以目力來觀察膠紙的表面漆膜浸涂的程度，來調整卷繞的溫度。

我們常用的方法有兩種：

(1) 觀察法：

是以目力觀察膠紙表面，無空白並隱約有較均勻的樹脂裸粒。以手撓之無清脆的響聲，則為合乎要求。

(2) 加熱法：

此種方法是與前方法並用的。即：膠紙撕成50~70公厘的小窄條，疊起貼靠熱滾約三秒鐘左右，取下後用

2) 中型以下變壓器採用皺折式油箱，較大型者採用排管式，並於管外直繞冷卻翅。排管外徑為2吋管壁厚1.5公厘，冷卻翅寬25公厘，厚1.2公厘，如此則構成外徑為100公厘的冷卻管。冷卻翅緊繞於排管上，僅在起點與終點處和冷卻管相焊接。這種結構是用來提高排管單位面積的散熱效能而不增加材料消耗量。更大型者則採用排管吹風式，於排管外層裝置擋風屏，以與箱壁間構成風道，風向則與冷卻翅方向平行，採用排管吹風式者以橢圓形油箱居多。在運輸條件受限制時，每個排管均裝有油道活門；以作拆卸之用。排管的間隔距離為150至200公厘。

3) 大型變壓器採用強迫油循環吹風冷卻者非常普遍。冷卻風葉有五種不同的直徑即，500, 700, 900, 1200與1400公厘。其中1200公厘的散熱能力為110千瓦，1400公厘的散熱能力為135千瓦。1200公厘的風葉轉速為550轉/分，每分鐘風量為400立方公尺，油流量為每分鐘1200升，由5.9千瓦油浸式油泵電動機驅動使油流直接經過二個串聯的熱交換器。

ASEA其他變壓器类产品也有幾個特點，需要一提。如限流電抗器不用混凝土柱，而用塑料槽盒堆砌，電纜不包絕緣。干式變壓器仍用“B”級絕緣，線段間採用瓷墊塊，但端部則採用塑料墊塊。線卷紙筒目前仍採用石棉電木筒，將來可能改用環氧樹脂。干式變壓器的最大容量為2000千伏安。小型變壓器仍廣泛採用木夾件及線段圓綫式線卷，木材系經長時期的自然干燥，並經熱油浸漬處理，質量還算均一。

ASEA變壓器部分約有電力變壓器設計工程師二十多名，特型變壓器設計工程師十多名，估計從事變壓器类产品設計工程師約四十名左右。變壓器部分的職工總數不足千人，在資本主義各國中已算是個大廠了。我國目前正在一日等於二十年的建設速度向前發展着。明年變壓器的生產量將大大超過歐洲資本主義各國生產量的總和。我們不但在產量上遠遠超過他們，而且在品種上也將大大領先。超過英國趕上美國已為期不遠了。

双手使之合攏，瞬間施以壓力，即時將兩頁揭開。如呈3~4公厘，透明的絲狀之粘液，即可按照第二部分之方法處理之。

這樣的方法雖然沒太大問題，但是缺乏科學上的依據，因此我們還在研究，採用捷克對膠紙的選擇方法。

捷克選料的方法：

捷克選料的方法是以 $\phi 112.8\text{mm}$ 的膠紙圓片四層，在 $150^{\circ}\text{C} \sim 175^{\circ}\text{C}$ 的熱板上用 30kg 的壓床加壓五分鐘。如在邊緣處膠被壓出 $2 \sim 3\text{ mm}$ 時，則為合乎膠木管卷制需要的粘度的技術要求。如圖1所示，這是根據卷管的實際情況所得到的經驗。

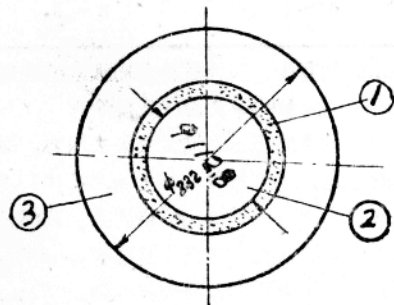


圖 1

- ①被擠出的膠($2 \sim 3\text{ mm}$);
②膠紙薄片; ③熱板。

胶木筒卷繞前工模具的准备、维护工作

(1) 建立工地服务制度，設調整和准备工人、根据班計劃，准备与清理当天当班所需的管芯子和消耗材料工具等。这样不但使卷管工人不间断的工作，发挥机床的效能，也是提高生产率的有效方法。

(2) 关于管芯的维护方法：

除作定期的检查与测定外，并在使用前，应使其表面清洁光滑无油泥、污物、锈斑等杂质附着其表面。

(3) 测定方法与要求：

我們是按着管芯的长度而定，每公尺其弯曲度不超过 0.15 公厘 。锥度每公尺为 $0.1 \sim 0.15\text{ 公里}$ ，測量方法是以塞尺在 0.04 誤差

的平板上进行为宜。如果超出一定限度需进行磨光修整。否则由于管芯用久的变形和輕微的磨损，而影响到胶木筒卷繞时的直線压力不均。加上紙張縱向施加的拉力，而使得胶木筒表面凸起繩紋。

(4) 管芯的种类和放置方法。

我們目前使用的鑄鐵的管芯子其結構还不够理想。根据机床的結構要求其中心是穿一 $\phi 60$ 的通心軸杠，操作起来很是笨重。不但管芯中心孔磨损很大，对机床軸承磨损更为严重。按照苏联的先进經驗在 $\phi 150$ 以上的管芯，采用鋼板弯制。至于 $\phi 70 \sim 150$ 則應采用对縫厚皮钢管为原料。当然 $\phi 70$ 以下的都應采用对縫钢管。

为減少管芯的数量，我們还学习了捷克的先进經驗。将一些闲置的备用管芯子，卷上一定的厚度胶紙，經烘焙后其表面涂以蓖麻子油，來代替所需用的管芯子規格。此外我們正在研究可調節式的管芯子来代替更多的規格。节约鋼材。

第二部分：胶木筒卷繞工艺

胶木筒卷繞工序

胶木筒卷繞工序，其技术性的要求是很高的。因为材料表面酚醛树脂遇热則起化学变化。因此在該工序上的許多重要工艺，需要熟練精确的掌握。并作适当的調節。可使卷繞烘焙后的胶木筒有着良好的电气性能和机械性能，因此卷繞电木筒时，则需要有如下的工艺要求。

(一) 机床轉数与热滾温度調節。

胶木筒卷繞时，胶紙的含胶量、揮发量与溫度以及胶紙的进程必須協調。如果配合不当往往由于揮发物質沒有从胶木筒低层內排出，經烘焙則气体聚集一处而膨脹，造成胶木筒局部起泡或起楞，或是由于胶体受热溫度过高而老化，則使其失去了层与层之粘着力而起层。

正确調整可按下表規定进行，

胶木筒卷制的温度、速度配合范围

含 胶 量	揮 发 物	予热板表面温度	加热滚表面温度	进料 米/分
32±3%	3~5%	100~110°C	160~170°C	3~6
29~34%	5~7%	110~120°C	165~175°C	3~6
28~33%	3~5%	100~110°C	155~165°C	3~6
28~33%	5~7%	100~115°C	160~170°C	3~6
30~35%	5~7%	115~125°C	165~180°C	3~6

根据上表之規定，热滾与胶紙的接触面，一般应保持 100~150mm 的寬度，因为材料表面涂着的酚醛樹脂，受热游动，致使胶紙軟化，可达到紙层間壓合巩固的目的，与此同时則大量的揮发物質被排除。

除此，当热滾附着胶垢，应維持平整而无凹陷和凸起面，否则会使胶木筒局部压力过大或失去压力。而使胶木筒无论是紙层間和表面，都有凹凸不平現象，渦芷气体，經烘焙而起泡。

胶木筒的衬紙及第一层的卷繞

(1) 衬紙方法：

胶木筒与管芯間之衬紙，大致可分为五种形式：

- (i) 用0.12或0.07电纜紙，在其端边涂黃干油，帶入热滾与管芯的縫間，并卷在管芯上。
- (ii) 将上胶絕緣紙之端边，涂以黃干油，而后将其平鋪于管芯上，而卷繞之。
- (iii) $\phi 70$ 以下工件用50~60公厘寬胶紙帶，将端角涂黃干油，卷繞之。
- (iv) 管芯表面涂蓖麻油，不垫紙直接将胶紙卷入之。
- (v) 用双面胶紙衬底 2~3 层，后再卷繞单面胶紙。

以上五种方法，其中(iii) (v) 是我們常用的方法。可使衬紙平整不起折，尤其(iii) (v) 两种方式可使胶木筒內壁光洁无綹折，而便于下工序的清理工作。

(2) 第一层卷繞：

續紙时其端边应成圓弧形，以防止折綹，否则由于續紙的角度不正，而使胶紙不能緊貼管芯，在其端头則出現渦兜，为了挽救这类問題，用小刀沿端头之上斜方向割成斜口。主要的要保持胶紙必須緊密的貼靠于管芯之上，否则会造成胶木筒內壁出現很多綹折。

胶木筒卷繞中发生問題的防止及其注意事項

(1) 卷繞中紙层間粘合的檢查及折楞的处理。

胶木筒在卷繞中除严防油污及夹杂物帶入紙层外，对其层間的粘着也要經常的檢查。以防止胶合不牢或由于热滾溫度下降而在其紙层殘留揮发气体。檢查方法用小刀，将卷繞的上胶紙割一尖角揭下，以目力觀察表面。如呈有微細的白色粉末，则證明粘合良好。如无粘着痕迹这說明含胶量低。由于承受强度較高，早已固化。因此粘合不牢，处理方法应按前表之規定根据胶量來調節溫度。

有的由于胶紙的胶量不匀，而在胶量較多的部分，沿筒壁圓周則出現折楞。这时应在折楞处附加一条胶紙，来增加該处的压强。避免折楞的延續。

(2) 卷繞中胶紙縱向拉力：

縱向拉力是胶木筒卷繞的关键工序，对紙层的粘合密实和揮发气体排除与否起着決定性作用。因此胶紙幅表及縱向均須得到均匀的拉力。使能达到上述目的。否则会促成胶木筒紙层粘合松弛。对其拉力的控制一般都是通过杀車的裝置，来做适当的調節。

(3) 电木筒卷繞中的直線壓力。

直線壓力与縱向拉力，有着密切关系（成比例），它也促使紙层密实粘合，并能使胶液均匀的分布在紙层

間，胶木筒的直綫压力一般都在 $1\sim1.5$ 公斤/公厘²。但应使筒长与压力两者的中心点相重合，才能使电木筒得到均衡压力。若要偏左或偏右都会造成电木筒之一端紙层松軟。

第三部分：胶木筒烘焙及脱模的技术要求

(一) 胶木筒卷繞后烘焙时的放置。

胶木筒烘焙时装置方法是大直徑放置底层。每根間隔應維持 $5\sim10$ 公厘。以使其揮发气体得到充分的排除。距离蒸汽排管应在 300 公厘以上。以防局部过热，驟然縮合，而达不到排除其揮发气体的目的。

(二) 烘焙温度及时间。

壁厚 mm	時間 (小时)
2 ~ 3	7
4 ~ 6	10
7 ~ 9	13
10 ~ 12	16

溫度 $130^{\circ}\text{C} \sim 135^{\circ}\text{C}$

其中包括两小时預热時間，在預热溫度是逐漸上升的。以此类推漸次增加烘焙時間。

根据上述規定固然很好，但由于烘爐的限制。我們將壁厚 $2\sim6$ mm統一按10小時的烘焙時間。 7 mm 以上采取脫出管芯后再烘的方法。以适应設備条件及生产的需要。今后我們准备采取苏联的先进技术，用高頻加热法，来烘焙胶木筒。这样不但可以大大縮短烘焙时间。同时还可减少大批管芯。

(三) 脱模：

脱模的方法有两种，根据机器的結構而有所不同，一般直徑 $\phi 400$ 以下者多采用工件移动，模不动。 $\phi 400$ 以上者工件不动，而模被拖动。这是根据芯子表面与胶木筒的磨擦力的大小而定。

脱法：前者是用擋圈套在管芯及靠着电木筒的端头，用15吨脱管机推动擋圈，使工件与管芯脱离。后者是擋圈固定，用 7.5吨脱管机使管芯由擋圈內里拖出与胶木筒脱离。这两种机床結構虽异，其作用相同。但是效率低，因为我們所用的擋圈是固定式的。因此每当电木筒規格改变，则擋圈亦得随之改变。这就增加操作人的体力劳动。目前我們正在研究改用可調節式的擋圈，以減輕工人的体力劳动和提高工作效率。

(四) 胶木筒的毛头加工及其表面清理：

(1) 毛头加工：

胶木筒毛头加工是在专用鋸床上进行的，其结构如图二所示。

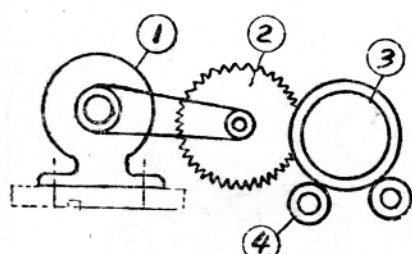


图 2

①电机；②元鋸片；③电木筒；④导輻。

将胶木筒臥放兩根導輻上，其端部緊靠平根。以手搖使其緩轉動，鋸掉毛头。鋸割毛头的吃刀量不宜过大，一般是 $1\sim1.5$ 吃刀量，过大会妨碍鋸割的質量，以致造成截面磨焦，而碳化。

(2) 端头及表面处理：

胶木筒表面及端头清理，是一項很細致的工作，需作周密的檢查，对表面一些油污、悬浮杂质、毛刺以及細微小泡等，都要作仔細的清除。否則不但影响外表的美觀，也会減少它的表面電阻或产生電量現象，其端头最好加工成圓弧形，以防止端头碰伤而起毛，也可增强該工作的机械强度。

(五) 表面浸漆：

漆膜的厚度以 $0.92\sim0.95$ 的比重來控制的。在浸漆前須将漆內气泡进行破裂的處理工作，以防其附在胶木筒的表面上，影响光滑程度。

工件浸漆滴干在室温下，要保持 $30\sim50$ 分鐘之后进行漆膜烘焙。在 80°C 时經過 2 小时烘焙后，再将溫度漸次上升到 135°C ，待 1 小时后使漆膜老化，然后进行表面光滑处理，再以同一方法，进行第二遍浸漆。

但在烘焙过程中，其溫度应严加控制，以防由于溫度波动，而造成漆膜起泡。

現在介紹一下，以虫胶碾压粉末通过震动篩子，分撒在絕緣紙上卷制电木筒的方法。

水冷变压器的设计(续完)

——魏新民——

四 水冷式变压器计算程序

(一) 线圈对油温升计算

根据 ТИ 512 其计算可分为下列各步骤：

1. 按一般计算线圈表面热负荷的方法计算 q 。

$$q' = \frac{21.4 I w \delta k}{P} \left(1 + \frac{P_{\text{B}} \%}{100} \right) \quad (24)$$

其中 I —— 线圈中之电流 (A)

w —— 线段中之匝数

虫胶是一种热硬性物质，产在我国南方云南一带，特别是东南亚热带国家较多。它是一种特殊昆虫分泌在树枝上的树脂，经加工除去杂质，成淡黄色或黄褐色较脆的小薄片，易溶于醇，它具有极大的胶粘性，但在通常状况下不粘。在 $50 \sim 60^{\circ}\text{C}$ 时变为柔软；温度再高则由软化而溶化。当继续加热时凝结而转为 C 期。温度越高则其凝结过程，所需的时间越短。

简要制造过程：

将虫胶片用特殊的碾压机，将其碾压成粉末后，通过 #100 目/ cm^2 振动筛子过滤在绝缘纸的幅面上，再经过热滚，按着需要的厚度卷绕于管芯上若干层。然后进行烘焙，老化、脱模、加工、浸漆等，加工处理后，即得与前述同样的绝缘胶纸筒。

图三表示虫胶碾压机，将虫胶装在盛胶的漏斗里，机器开动后，由于本身的震动，而使胶片自动落入四个碾滚之间，在弹簧的压力下，虫胶片即被碾压成粉末。这些粉末再经过振动筛子直接撒在绝缘纸上进行卷制电木筒。

图四是利用虫胶卷制电木筒的示意装置，其中 1 是振动筛子，它是受偏心轮的冲击力而震动的，经震动下来的粉末，洒布在电缆绝缘纸幅面上，纸的速度以 $5 \sim 7$ 米/分，通过 $180 \sim 200^{\circ}\text{C}$ 的预热板，使虫胶粉接近熔化状态，又经过 $190 \sim 200^{\circ}\text{C}$ 的加热辊，再熔而卷绕于管芯上。

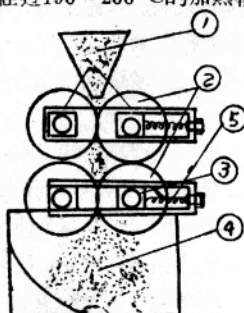


图 3

1. 盛胶漏斗；2. 碾压滚；
3. 轴承；4. 虫胶粉末；
5. 压紧弹簧。

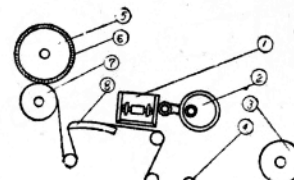


图 4

1. 震动篩子；2. 偏心軸；3. 0.12或0.07电纜紙；
4. 导輥；5. 管芯子；6. 胶紙筒(工件)
7. 加热滾；8. 預熱板。

用虫胶卷制绝缘胶纸筒，有许多优点，因为它熔化后，流动性很大胶粘力亦极强，且在 200°C 加热辊的高温情况下也不老化。因此对胶木纸筒的卷绕工序的温度控制颇为便当，其次由于虫胶受热流动性大，胶粘力强，也避免了胶木纸筒的起层、起泡、起折的缺点。

δ —电流密度 安/公厘²

k —线段表面蔽盖系数

P_s —附加涡流损耗百分数

P —线段截面之周长 (公厘)

2. q'_0 之线段绝缘厚度校正系数

$$\alpha_{uzo} = 1 + 0.364(v - 0.5) \quad (25)$$

v —线匝绝缘十线段附加绝缘 (两面厚度) (公厘)

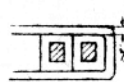


图 15

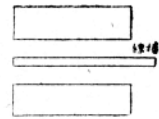


图 16

3. q'_0 之油道宽度校正数值 β , 此校正系数与油道宽度及线段幅向厚度有关

A) 油道结构如图16时用表(二)

表(二)

*油道宽度 (公厘)	线段幅向尺寸 (公厘)				
	60~80	81~105	106~130	131~155	155~185
6	400	500	550	650	750
8	120	240	300	390	470
10	—20	100	150	260	330
12	—90	30	80	190	250
14	—170	—50	0	130	190
16	—230	—120	—60	60	120

* 此线段结构, 一个油道被纸圈分成两个油道, 此处油道宽度系数取此两油道中较大的一个。

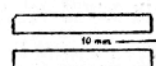


图 17

B) 螺旋式线圈结构如图17对用表(三)

表(三) 螺旋式线圈单油道校正系数

*油道宽度 (公厘)	线圈幅向尺寸 (公厘)				
	20以下	21~30	31~40	41~60	61~80
5	300	370	420	470	520
6	150	220	280	330	380
8	60	120	150	240	300
10	—60	0	60	120	180

* 此油道之宽度不能用图纸上的油道宽度, 而需用比图纸上之值小一级的数值, 例如上图油道宽度为10MM, 查校正系数时应取油道为8公厘时之数值, 此种取法系由经验得来。

4. 已知 q'_0 , α_{uzo} , β 。

则线圈之热负荷 $q_0 = q'_0 \cdot \alpha_{uzo} + \beta \text{瓦}/\text{米}^2 \quad (26)$

根据此 q_0 再按图18之曲线查出线圈对油之平均温升。

(二) 水冷却器中热量转换的计算

令 T_1 —油进入冷却器时之温度 $^{\circ}\text{C}$

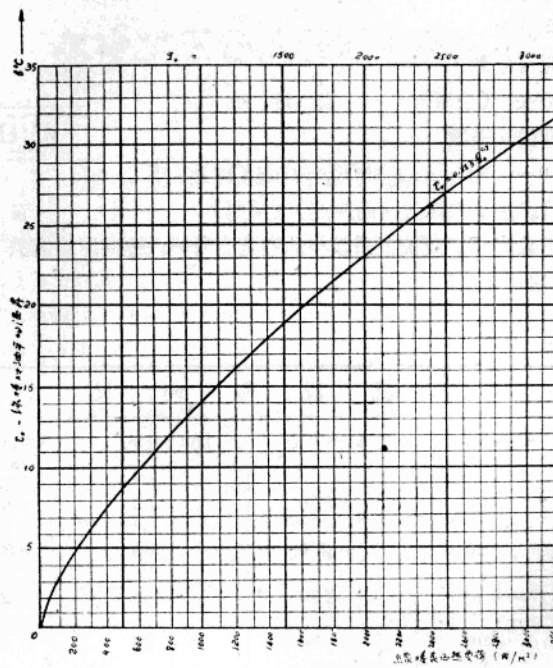


图18 用扁线绕的饼式或螺旋式线圈对平均油温的平均温升曲线。

T_2 ——油流出冷却器时之温度 $^{\circ}\text{C}$

T_3 ——水进入冷却器时之温度 $^{\circ}\text{C}$

T_4 ——水流出冷却器时之温度 $^{\circ}\text{C}$

Q_1 ——冷却器中之油流量 公升/分

Q_2 ——冷却器中之水流量 公升/分

C_1 ——油之比热在 $T_M=70^{\circ}\text{C}$ 时 $C_1=0.46$ 千卡/ $^{\circ}\text{C}$ 公斤

γ_1 ——油之比重在 $T_M=70^{\circ}\text{C}$ 时 $\gamma_1=0.831$ 克/ CM^3

ϕ_0 ——冷却器之散热面

冷却器型号: Mn-21 $\phi_0=21 \text{ M}^2$

Mn-37 $\phi_0=37 \text{ M}^2$

Mn-65 $\phi_0=65 \text{ M}^2$

ΔT_m ——油水温度差之对数平均值 $^{\circ}\text{C}$

W——变压器之总耗 (仟瓦)

计算时先选定 $T_3=25^{\circ}\text{C}$ 再选择 $Q_1 Q_2$ 使保证变压器线圈之温度不超过 95°C T_1 不超过 60°C ，而 $Q_1 Q_2$ 又不能过大，以免浪费油泵水泵的电力。

变压器需要散出之热量为 W (仟瓦) 由公式 (1)

$$860W = 60Q_1C_1\gamma_1(T_1 - T_2) = 60Q_1C_1\gamma_1\Delta T_m$$

$$\text{或 } \Delta T_m = \frac{860 \text{ W}}{60Q_1C_1\gamma_1} \quad (27)$$

变压器散出之热量假定全部为水所吸收，则由公式 (2)

$$860W = 60Q_2(T_4 - T_3) = 60Q_2\Delta T_B$$

$$\text{或 } \Delta T_B = \frac{860 \text{ W}}{60Q_2} \quad (28)$$

一般 ΔT_B 約取 $10-15^{\circ}\text{C}$

由式 (3) $860W = K\phi_0(T_M - T_B) = K\phi_0 Y_m$

$$\therefore Y_m = \frac{860 W}{K\phi_0} \quad \dots \dots \dots \quad (29)$$

此外 K 之值按照选定之 Q_1 Q_2 由曲線查出,

因为苏联所用的 $Mn=21$ $Mn=37$ $Mn=65$ 均为反向流动

$$\text{由式 (22)} \quad Y_m = \frac{(T_1 - T_4) - (T_2 - T_3)}{2.3 \lg \frac{T_1 - T_4}{T_2 - T_3}}$$

$$\text{令 } A = \frac{T_1 - T_4}{T_2 - T_4} \quad (30) \quad \Delta T_M = T_1 - T_4 \quad \Delta T_B = T_2 - T_3$$

$$Y_m = \frac{\Delta T_M - \Delta T_B}{2.3 \lg A} \quad \dots \dots \dots \quad (31)$$

$$\lg A = \frac{\Delta T_M - \Delta T_B}{2.3 Y_m} \quad \dots \dots \dots \quad (32)$$

$$\therefore A = \frac{T_1 - T_4}{T_2 - T_3} = 10 \quad \dots \dots \dots \quad (33)$$

由前面 (27) (28) (29) 求出 ΔT_M , ΔT_B , Y_m 后即可由式 (33) 中求出 A , 再进一步由 (30)

$$A - 1 = \frac{T_1 - T_4 - T_2 + T_3}{T_2 - T_3} = \frac{T_1 - T_2 - (T_4 - T_3)}{T_2 - T_3} = \frac{\Delta T_M - \Delta T_B}{T_2 - T_3}$$

$$\therefore T_2 = T_3 + \frac{\Delta T_M - \Delta T_B}{A - 1} \quad \dots \dots \dots \quad (34)$$

$$\text{而 } T_1 = T_2 + \Delta T_M \quad \dots \dots \dots \quad (35)$$

$$T_4 = T_3 + \Delta T_B \quad \dots \dots \dots \quad (36)$$

$$\text{油的平均温度为 } T_{MCP} = T_2 + \frac{\Delta T_M}{2} \quad \dots \dots \dots \quad (37)$$

所以上列計算結果要保持繞圈溫度即 T_{MCP} 与繞圈对油平均温升之和不超过 95°C , 如已超过 95°C 則应变更 $Q_1 Q_2$ 或水冷器之型号及数量, 重新計算, 以保持 $T_{o\delta} < 95^{\circ}\text{C}$ 。

莫斯科变压器的实际計算中, 为了保証安全計算冷却器时尚考虑了下列两点:

1) W 之值取变压器总耗之計算值加 15% 。

2) 考虑到检修水冷器时, 可能使变压器在去掉一个冷却器的情况下仍能安全运行, 即計算时要加上一个冷却器再加上計算, 而 $T_{o\delta}$ 仍需小于 95°C , 这样做实际上等于給变压器储备了一个备用的冷却器。計算实例見TP-1253 10-11頁 (ОЦГ-123500/400)

(三) 水冷却系統各部液体阻抗計算及油泵选择

油泵的特性如图19, 当这油量增加时, 其压力头是下降的, 因此在選擇油泵时应先算出整个油管系統中在某一油流量下各处之总压力头消耗量(或称液体阻抗)。再按油泵特性曲線看, 所用油泵在此送油量时其压力头能否达到此数值。

下面分別叙述管路各部与压力头損耗的計算方法:

1) 水冷本身压力头損耗計算:

水冷器結構比較复杂, 液体的流动方向复杂, 其液体阻抗(Гидравлическое сопротивление)計算也很复杂, 現仅根据 ЛМЗ工厂的資料略談 $Mn=65$ 的計算方法。

$Mn=65$ 油在管外流动而水在管内流动, 油为交向流动(因为管外有横隔板), 水冷器对油的液体阻抗 H 可



图 19

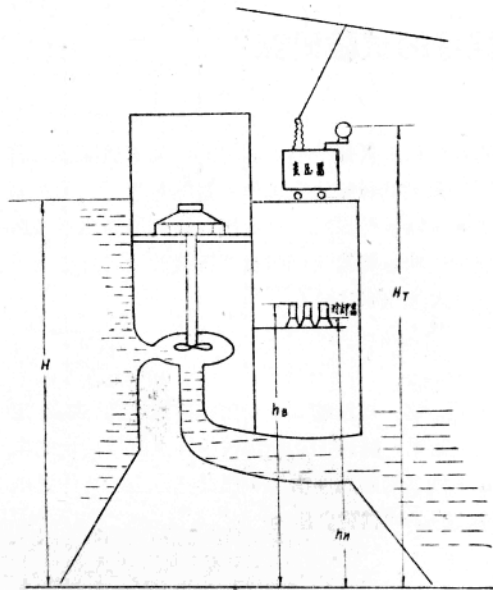


图 21

令 H ——水坝上之水位高度（均由水坝下之水平面算起）

H_T ——变压器最高点之高度

h_B ——水冷却器最高点之高度

h_H ——水冷却器最低点之高度

那么水冷却器中最高点的水压为 $H_{B,B} = H - h_B \dots \dots \dots (46)$

水冷却器最低点的水压为 $H_{B,H} = H - h_H \dots \dots \dots (47)$

而水冷却器中之油压应等于水位高度与油泵产生之压力点之和。

水冷却器之最高点油位压力

$$H'_{D,B} = (H_T - h_B)\gamma, \dots \dots \dots (48)$$

水冷却器之最低点油位压力

$$H'_{D,H} = (H_T - h_H)\gamma, \dots \dots \dots (49)$$

γ —油之比重

水冷却器中最高点和最低点处，由于油泵所产生之压力等于油泵之压力头减去至该处为止，油管路系统消耗去之压力头，此种压力头之计算已如前述，此种压力头我们叫它做动压力头，分别以 $H_{K,B}$ $H_{K,H}$ 表之。

∴ 水冷却器最高点的总油压

$$H_{DB} = (H_T - h_B)\gamma + H_{KB} \dots \dots \dots (50)$$

水冷却器最低点的总油压

$$H_{DH} = (H_T - h_H)\gamma + H_{KH} \dots \dots \dots (51)$$

计算结果应使

$$\begin{aligned} H_{DB} - H_{BB} &= 0.7 - 1.5 \text{ 大气压 } \\ H_{DH} - H_{BH} &= 0.7 - 1.5 \text{ " } \end{aligned} \quad \left. \right\} \dots \dots \dots (52)$$

唯计算时亦应考虑到一个冷却器取下修理其他冷却器中水流量增加时之情况

(四) 马达选择

油泵马达功率可按下列计算：

$$\text{油泵马达功率 } P = \frac{Q_1 \gamma_1 H}{\alpha \cdot \eta} \dots \dots \dots (53)$$

其中： Q_1 ——油流量

γ_1 ——油比重

H ——当油流量为 Q_1 时所需之油压力头

η ——效率约取 0.8

α ——安全系数约取 0.9

一般来说不必按各种使用情况之 Q_1 再去选择马达，只需将某一种冷却系统，按其使用几个什么型号之冷却器选定一种固定型号的马达即可。

110千伏級電力變壓器主絕緣的試驗研究

一、概述

110千伏級電力變壓器在我廠生產量較大，但舊有變壓器的外型和重量都是不太理想的，為了適應新的國家標準和符合本國的具體情況，對此級次變壓器的主絕緣進行了一系列的試驗研究工作，目的是：①對原有主絕緣距離進行校對，並了解其絕緣裕度；②為配合我廠四類變壓器改型設計，決定出與新的絕緣水平相適應的絕緣距離；③進一步對變壓器試驗研究取得經驗。這些試驗的成功，將給我廠四類變壓器改型設計提供可靠的理論和實際的依據，如按新的絕緣距離進行改型設計，會節省大量的原材料。

二、工頻試驗電壓及絕緣裕度的確定

變壓器內部絕緣的工頻試驗電壓，通常是以一分鐘耐壓為標準，這一電壓的大小是由操作過電壓來決定的，也考慮了大氣過電壓的作用。根據蘇聯實際的運行經驗及試驗結果，認為110千伏級中性點直接接地的電力系統中，操作過電壓為最大相電壓的3倍多，其作用時間為0.1秒。考慮到作用於變壓器絕緣上的操作過電壓的衝擊系數——1.35，累積系數——0.9，則與操作過電壓等效的工頻試驗電壓為：

$$\frac{3U_{\text{op}}\delta}{1.35 \cdot 0.9} \approx 1.57 U_{\text{H}}$$

亦即等於173千伏※

大氣過電壓是由避雷器特性來決定的。在110千伏直接接地的電力系統中，變壓器的截波試驗電壓為550千伏※※，其中衝擊系數以2.2來計算，則大氣過電壓等效的工頻試驗電壓為：

$$\frac{550}{2.2 \cdot \sqrt{2}} = 177 \text{ 千伏※}$$

根據蘇聯新的國家標準規定，對用於110千伏直接接地系統中的變壓器，其工頻一分鐘試驗電壓為200千伏※。目前我國亦擬採用此值。很明顯這裡已經有10%以上的裕度。

變壓器內部絕緣的平均擊穿電壓以下式計算：

$$U_{\text{np}} = U_{\text{cen}} \cdot 1.15 \cdot 1.1 \text{ (千伏※)}$$

式中： U_{cen} ——一分鐘試驗電壓；

1.15——為計及試驗電壓與最小衝擊電壓的系數；

1.1為計算最小衝擊電壓與平均衝擊電壓為225千伏※，亦變壓器主絕緣的絕緣裕度為1.27。

以1.27的絕緣裕度，參照新的絕緣標準來確定新的絕緣距離。

三、試驗項目及其結果分析

1. 套管與儲油櫃之間空氣絕緣的試驗

試驗時儲油櫃是以一個 $\phi 900 \times 1600$ 的金屬半圓柱代替，將其接地。为了避免當間隙距離過大時，因套管本身閃絡，而不能得到準確的試驗結果，故採用154千伏的套管來做試驗，其上部法蘭大小與110千伏相同，這樣不致影響結果。套管與工頻高压试驗变压器相連，如圖一所示。

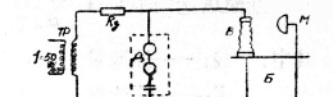


圖1
Tp——工頻高压试驗變壓器；
Rz——阻尼電阻(約1兆歐)；
D——峰值電壓測量裝置；
B——154千伏套管；
A——油箱；
M——儲油櫃模型；

套管與儲油櫃之間的空氣間隙取以下幾個距離：600、650、700、750、800、850、900及960公厘。對每一距離均進行了放電和一分鐘耐壓試驗，其兩者試驗均進行3~4次取其均值，其試驗結果如下。

標準狀態下的放電電壓值用下式計算：

$$U_{\text{pH}} = \frac{[1 + R(11 + r)]}{\delta} U_{\text{p}} \text{ 千伏※}$$

式中： U_{p} ——實際的試驗結果值；

R——校正系數 ($R=1.2\%$)；

r——空氣的絕對濕度；

δ ——空氣的絕對密度。

为了进行比較，还用垂直放置的針尖对平板电极作了試驗，两者結果繪成曲綫，如图二。

表 1

距 离 (公厘)	960	900	850	800	750	700	650	600
一分鐘耐住电压 (千伏) *	300	300	275	275	250	225	225	200

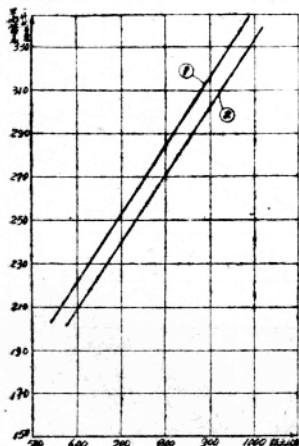


图 2

曲綫 ①套管对储油柜；
曲綫 ②針尖对平板；
平均放电电压比較曲綫

表 1 和曲綫的數值已經考慮了周圍大气状态的影响，将实际的試驗之值已折算到标准状态之下值；除考虑室温及气压影响外，还考虑了湿度的影响。从上表和曲綫中可以看出具有較大的裕度。如仍以試驗电压为 230 千伏※来計算，其絕緣裕度为 1.43。

对于新的一分鐘試驗电压 (200 千伏※)，套管与儲油柜之間的距离可取 800 公厘，其一分鐘耐住电压为 275 千伏※，平均放电电压为 285 千伏※，裕度为 1.42。

用实际的套管及儲油柜模型所得的結果，高于用截面为 12×12 公厘² 的針尖对平板的結果，两者之偏差要从电場的觀点來看，当距离愈大时，会減小的，而且是可靠的。

II. 套管与套管之間空气絕緣的試驗

試驗按图一，只把儲油柜和 154 千伏套管换成 110 千伏級的套管。試驗結果如表 2 及图 3 曲綫所示。

表 2

距 离 (公 厘)	900	850	800	750	700	650
一分鐘耐住电压 (千伏) *	325	300	300	275	250	250

上表和曲綫图 3 中的數值，同样也考慮了周圍环境的空气温度、压力及湿度的影响。

套管与套管之間距离为 900 公厘时，其平均放电电压为 345 千伏※，一分鐘耐住电压为 325 千伏※。以試驗电压为 230 千伏※为准，其裕度为 1.5。

与新的絕緣水平相适应的，套管之間的距离可取 750 公厘。其一分鐘耐住电压为 275 千伏※，平均放电电压为 290 千伏※，以試驗电压为 200 千伏※来計算，其裕度为 1.45。根据实物和針尖电极的試驗結果證明，也可以用简单的針尖电极来代替套管。

III. 高压綫卷与油箱壁之間的絕緣試驗

試驗采用的是 7500 千伏安的一个高压綫卷，电压为 110 千伏級，其高度为 1100 公厘，加強絕緣綫段的外徑为 910 公厘，內徑为 720 公厘（包括每边 5 公厘厚紙在内）。正常綫段处的最大外徑为 920 公厘，內徑为 710 公厘。 C_3 綫段外之屏蔽綫匝外緣离 C_4 綫段之外徑为 30 公厘，即是正常运用的变压器高压綫卷。

試驗时将高压綫卷浸在温度为 $30^{\circ}\text{C} \sim 32^{\circ}\text{C}$ ，其耐压在 31.4 ~ 36.8 千伏/2.5 公厘的变压器油中，引綫与工頻試驗变压器相联，油箱接地如图 4 所示：

試驗中采用以 C_4 綫段处之屏蔽綫匝与油箱之距离取 90, 125, 155,

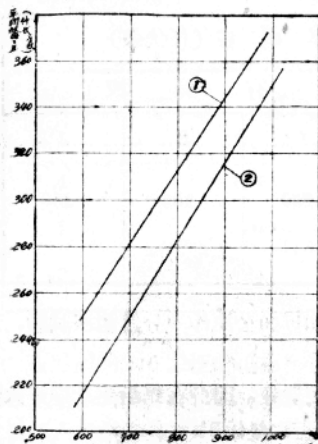


图 3

图中曲綫①为套管与套管；
曲綫②針尖对針尖电极；
平均放电电压比較曲綫。

185, 205公厘，采用一分鐘耐压，以每級25仟伏逐級上升，直到击穿为止。在每調一新距离时停20分鐘再行試驗。其試驗結果如图五曲線。

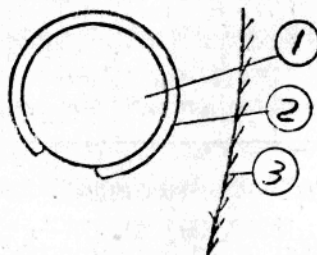


图 4

图中①高压綫卷；②屏蔽綫匝；③油箱壁。
被試物的放置

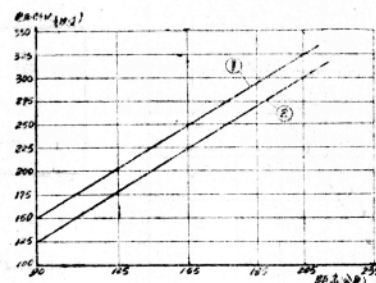


图 5

图中曲線①击穿电压；曲線②一分鐘耐住电压。
一分鐘耐住电压及击穿电压曲線

目前与一分鐘試驗电压为230仟伏相对应的絕緣距离（油箱到高压綫卷）为200公厘，从图五看到，其击穿电压与一分鐘耐住电压分别为315及290仟伏※。其絕緣裕度約为1.37。在試驗过程中和結果表明，击穿絕緣大部分是发生在C₄綫段的屏蔽綫匝处，只有极少数在C₃的屏蔽綫匝处。因此高压綫卷与油箱壁之間的絕緣距离應該由C₄綫段的屏蔽綫匝外緣算起，而不是以A綫段或正常綫段为准。

从試驗結果得知，与新的絕緣水平（200仟伏※）相适应的新的絕緣距离拟采用155公厘。其一分鐘耐住电压为225仟伏※，击穿电压为250仟伏※，絕緣裕度为1.25。

IV. 高压綫卷之間絕緣的試驗

試驗用与上述相同的一个綫卷和另配一个用較小的綫卷来代替，其外徑为620公厘，高为110公厘。将两綫卷放入上述之变压器油中，在两者之間放厚22公厘的隔板，每端比綫段高出200公厘，隔板由2公厘厚板和中间放入垫块而組成的，其寬为800公厘，經過10~50小时的浸油处理。

試驗时利用支架将两个綫卷吊着，大的綫卷与工頻高压試驗变压器相联，小的接地。試驗时仍以上述方法进行。試驗結果列于表3。

表 3

距 离 (公 厘)	一分鐘耐住电压(仟伏※)			击 穿 电 压(仟伏※)				
	无隔板	有 隔 板			无隔板	有 隔 板		
		1	2	3		1	2	3
60	—	230	235	250	144	250	255	280
70	150	290			170	314		

从上表可以看出，以試驗电压为230仟伏※來計算，絕緣裕度为1.37。如以60公厘作一分鐘耐压試驗，以200仟伏※計算，絕緣裕度为1.25~1.4。

这次試驗相間隔板采用对接的，試驗中證明，击穿的部位沒有一次是在接縫处。因此在以后生产中，大張紙板不足时可以用小張紙板来代替之，只若接縫处离开A綫段200公厘以上即可大量采用。

V. 高低压綫卷之間絕緣的試驗

試驗用高压綫卷与前述相同，低压綫卷为螺旋式与高压綫卷同高度，外徑为610公厘。

为使高低压綫卷之間发生击穿，其两端絕緣特別加强。試驗用的絕緣材料按产品工艺規程进行处理，把高压綫卷内层紙筒繞于紙压綫卷的外圍，内层紙筒为Φ630/636×1250，外层紙筒为Φ666/672×115。并在低压

綫和內層紙筒及內外層紙筒之間的上下兩端，裝有絕緣角環其厚度為5公厘。裝好後放於溫度為 $28^{\circ}\sim 29.5^{\circ}\text{C}$ 耐壓為 $30\sim 32$ 仟伏/2.5公厘的油中。紙板本身耐壓：厚1.5公厘，平均擊穿電壓為52仟伏※。試驗是採用外施高壓，電壓是逐級上升的，每級作用一分鐘，每兩級之間停5~10分鐘。高低壓綫卷之間採用50公厘的，試驗結果是：一分鐘耐壓為225仟伏※，擊穿電壓為250仟伏※，其絕緣擊穿位於綫卷下端部約100公厘外，內外兩層紙筒均被擊穿。這個結果表明，可以認為絕緣距離為50公厘，其絕緣裕度為1.25。這是指正常綫段而言的。

V. 高壓綫卷與鐵軛壓板之間絕緣的試驗

試驗是採用模仿高壓綫卷的加強綫段的模型和壓板的模型來試驗的，當做距壓板110公厘的絕緣試驗時，是用方形截面的電極；在做距壓板90公厘絕緣試驗時，是用橢圓形截面的電極。兩者模擬的絕緣結構分別用圖六和圖七表示：



圖6 距壓板為110公厘時的絕緣結構

- 圖中 1. 鐵軛絕緣，厚32公厘；
2. 絶緣紙圈，厚5公厘；
3. 高壓端圈，厚20公厘；
4. 絶緣角環，厚10公厘；
5. 相間隔板，厚22公厘；
6. 絶緣角環，厚10公厘；
7. 絶緣套圈，厚14公厘。

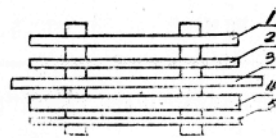


圖7 距壓板為90公厘時的絕緣結構

- 圖中 1. 鐵軛絕緣，厚32公厘；
2. 絶緣紙圈，厚6公厘；
3. 相間隔板，厚22公厘；
4. 絶緣角環，厚8公厘；
5. 絶緣套圈，厚22公厘。

所有絕緣件均經過按工藝規程進行了全面的加工處理；按實際結構裝成，把壓板直接接地，高壓綫卷與工頻高壓試驗變壓器相聯，進行試驗。絕緣厚為110公厘和90公厘試驗結果如表4。

表4

序號	距離（公厘）	一分鐘耐壓	放電電壓	備註
1	110	250仟伏※	300仟伏※	275仟伏未做
2	90	250仟伏※	275仟伏※	從250仟伏起有輕微 斷續放電聲
3	90	250仟伏※	275仟伏※	

在對舊的110公厘的絕緣距離進行試驗時，由於採用方形電極，電場不均勻，因而所得結果偏低。根據試驗放電電壓為300仟伏※來計算，其絕緣裕度為1.3。從上表中可以看，擬採用新的絕緣距離，以新的電壓標準來計算，其絕緣裕度為1.37。在試驗過程中發現，多數是沿面放電而燒傷，擊穿現象不多。

VI. 高壓引綫沿木件絕緣的試驗

變壓器的引綫都是通過木夾件固定的。由於它處在油箱或夾件等接地角鐵和器身之間，因此引綫之間和引綫與接地角鐵之間的絕緣距離須進行試驗確定新的絕緣距離。這兩項試驗完全採用實際產品相同的模擬模型進行的，各部件完全按工藝規程進行處理，合乎產品的實際要求。把模型放於變壓器油中進行試驗。引綫對引綫沿